

**f-d-ОБМЕН И КРИВЫЕ НАМАГНИЧИВАНИЯ ЗОННЫХ МЕТАМАГНЕТИКОВ  $Y_{1-t}R_t(Co_{0.92}Al_{0.08})_2$  ( $R = Pr, Nd$ )**

© Т. Гото,\* И. С. Дубенко, Н. П. Колмакова, К. Коуи,\*  
 Р. З. Левитин, М. Ю. Некрасова

Брянский институт транспортного машиностроения,  
 241035 Брянск, Россия

\* Institute for Solid State Physics, University of Tokyo, Tokyo, Japan  
 (Поступила в Редакцию 2 августа 1995 г.)

Измерены кривые намагничивания зонных метамагнетиков  $Y_{1-t}R_t(Co_{0.92}Al_{0.08})_2$  с легкими редкими землями Pr и Nd в импульсных полях до 42 Т при  $T = 4.2$  К. Численное моделирование метамагнитных кривых намагничивания в приближении молекуллярного поля позволило определить параметр f-d-обменного взаимодействия  $A$  ( $A = -25 \cdot 10^{-23}$  и  $-23 \cdot 10^{-23}$  J для Pr и Nd соответственно).

Интерметаллические соединения на основе кобальта  $Y(Co_{1-x}Al_x)_2$  являются зонными метамагнетиками: магнитное поле индуцирует в них переход из парамагнитного (или слабомагнитного при  $x \geq 0.12$ ) в сильномагнитное состояние [1]. Поле метамагнитного перехода  $H_m$  сильно зависит от концентрации алюминия [2]. В редкоземельных интерметаллических соединениях  $Y_{1-t}R_t(Co_{1-x}Al_x)_2$  ( $R$  — редкая земля, (РЗ)), которые также являются кубическими фазами Лавеса, магнитные свойства определяются уже двумя магнитными подсистемами. Кроме магнитно-неустойчивой зонной подсистемы имеется также магнитная подсистема, образованная локализованными 4f-электронами. В случае легких РЗ f-d-обменное взаимодействие приводит к параллельной ориентации магнитных моментов обеих подсистем, и эффективное поле, действующее со стороны f-подсистемы на d-подсистему, направлено одинаково с внешним полем. Таким образом, суммарное поле, действующее на d-подрешетку, равно

$$H_d = H + \lambda_{fd} t M_f, \quad \lambda_{fd} > 0, \quad (1)$$

где  $\lambda_{fd}$  — параметр f-d-обмена,  $M_f$  — магнитный момент РЗ-иона. Следовательно, можно ожидать уменьшения полей метамагнитного перехода  $H_m^R$  в соединениях  $Y_{1-t}R_t(Co_{1-x}Al_x)_2$  с легкими РЗ по сравнению с аналогичными соединениями без РЗ. Смещение поля метамагнитного перехода и изменение вида кривой намагничивания определяется величиной f-d-обмена и зависит от РЗ и ее концентрации. Поэтому исследования магнитных свойств соединений  $Y_{1-t}R_t(Co_{1-x}Al_x)_2$

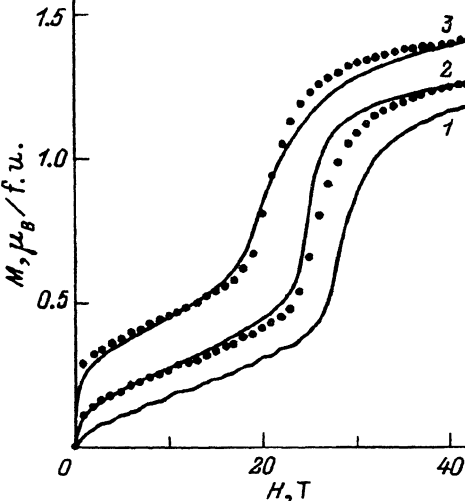


Рис. 1. Кривые намагничивания  $Y_{1-t}Pr_t(Co_{0.92}Al_{0.08})_2$  при  $T = 4.2$  К.  
 $t$ : 1 — 0, 2 — 0.02, 3 — 0.06. Сплошные линии — эксперимент, точки — расчет.

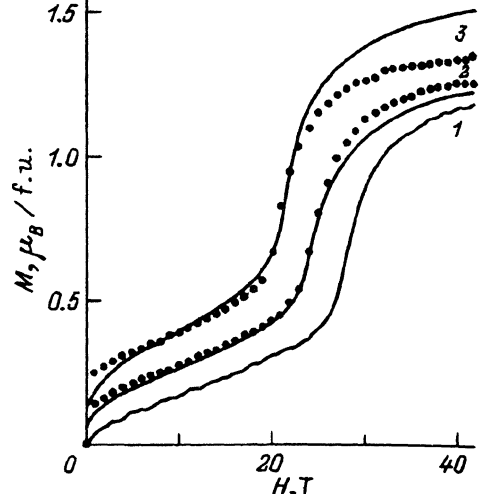


Рис. 2. Кривые намагничивания  $Y_{1-t}Nd_t(Co_{0.92}Al_{0.08})_2$  при  $T = 4.2$  К.  
 $t$ : 1 — 0, 2 — 0.02, 3 — 0.04. Сплошные линии — эксперимент, точки — расчет.

с разными концентрациями РЗ позволяют определить величину обменного  $f-d$ -взаимодействия в соединениях типа  $RCO_2$ . В данной работе в качестве объекта исследований были выбраны соединения  $Y_{1-t}R_t(Co_{0.92}Al_{0.08})_2$  с  $R = Pr$  и  $Nd$ .

Образцы синтезировались по стандартной технологии из исходных компонент в электродуговой печи с последующим гомогенизирующим отжигом. Поскольку магнитные свойства соединений  $Y_{1-t}R_t(Co_{1-x}Al_x)_2$  весьма чувствительны к изменению концентрации алюминия, производилось исследование состава образцов с помощью локального структурного макроанализатора фирмы «Camebach» (Франция) и для измерений выбирались только образцы, в которых концентрация алюминия отличалась не более чем на 3% от заданной. Измерения кривых намагничивания в импульсных полях до 42 Т (длительность импульса 9 ms) при температуре 4.2 К производились индукционным методом.

На рис. 1, 2 приведены кривые намагничивания соединений  $Y_{1-t}Pr_t(Co_{0.92}Al_{0.08})_2$  и  $Y_{1-t}Nd_t(Co_{0.92}Al_{0.08})_2$  соответственно. Видно, что наличие РЗ качественно характеризует кривые (ср. кривые 2 и 3 с кривой 1), но величины полей метамагнитного перехода, крутизна перехода и другие детали кривых намагничивания изменяются существенно и по-разному для  $Pr$  и  $Nd$ . На рис. 3 приведены концентрационные зависимости поля метамагнитного перехода  $H_m^R Y_{1-t}R_t(Co_{0.92}Al_{0.08})_2$  для  $R = Pr$  и  $Nd$ , определенные из экспериментальных кривых намагничивания. Из (1) следует, что в случае магнитного насыщения РЗ-подсистемы, имеющей место в полях вблизи метамагнитного перехода,  $H_m^R$  уменьшается с ростом  $t$  по линейному закону

$$H_m^R = H_m - \lambda_f dt M_f. \quad (2)$$

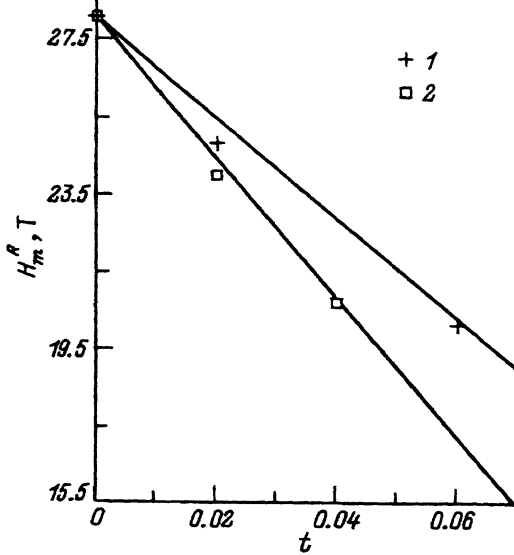


Рис. 3. Концентрационные зависимости поля метамагнитного перехода  $H_m^R$  соединений  $Y_{1-t}R_t(Co_{0.92}Al_{0.08})_2$  при  $R = Pr$  (1) и  $Nd$  (2).

Прямые линии проведены по формуле (2) для значений  $\lambda_{fd} = 40$  ( $Pr$ ) и  $55$   $T \cdot f.u./\mu_B$  ( $Nd$ ).

Из рис. 3 видно, что наклон прямых  $H_m^R$  для  $Pr$  и  $Nd$  разный. Поскольку магнитные моменты  $Pr$  и  $Nd$  близки, это означает, что параметр  $f-d$ -обмена для этих систем различен. Полученные данные дают возможность оценить величину  $\lambda_{fd}$ . Численное моделирование криевых намагничивания рассматриваемой сложной магнитной системы, состоящей из двух подсистем, дает возможность определить параметр  $f-d$ -обмена  $\lambda_{fd}$  более точно.

Решаем численно уравнение состояния

$$H_d(M_d) = H + \lambda_{fd}tM_f,$$

$$M_f = g_J J B_J \left\{ (H + \lambda_{fd}M_d)g_J J / k_B T \right\}, \quad (3)$$

где  $J$  — полный угловой момент РЗ,  $B_J$  — функция Бриллюэна, с использованием экспериментальной кривой намагничивания соединения  $Y(Co_{0.92}Al_{0.08})_2$  без магнитной РЗ (кривая 1 на рис. 1 и 2) и получаем кривую намагничивания

$$M(H) = M_d(H) + tM_f(H)$$

исследуемого ферромагнетика в приближении молекулярного поля. Из условия наилучшего согласия экспериментальных и рассчитываемых кривых мы подобрали величину  $\lambda_{fd}$ . Для  $Pr$   $\lambda_{fd} = 40$   $T \cdot f.u./\mu_B$ , для  $Nd$   $\lambda_{fd} = 55$   $T \cdot f.u./\mu_B$ . Из рис. 1, 2 видно, что описание экспериментальных кривых достаточно хорошее. Однако имеется заметное различие рассчитанной и измеренной величин магнитного момента в сильномагнитной фазе для  $Y_{1-t}Nd_t(Co_{0.92}Al_{0.08})_2$ . Причина этого различия до конца не ясна; возможно, оно обусловлено разным состоянием кобальтовой подсистемы в соединениях с РЗ и без РЗ аналогично тому, как это происходит в соединении  $(Y, Lu)Co_2$  [3].

Параметр  $A$  спинового обменного  $f-d$ -взаимодействия связан с обменным параметром  $\lambda_{fd}$  соотношением [4]

$$A = \lambda_{fd} g_J N_d \mu_B / Z_f (g_J - 1), \quad (4)$$

где  $g_J$  — фактор Ланде,  $N_d$  — число  $d$ -ионов на формульную единицу,  $Z_f$  — число ближайших  $d$ -ионов для  $f$ -иона. Пересчитывая определенные нами  $\lambda_{fd}$ , получаем для  $A$  следующие значения:  $A_{\text{Pr}} = -25 \cdot 10^{-23}$  J,  $A_{\text{Nd}} = -23 \cdot 10^{-23}$  J. Эти значения  $A$  очень близки найденным для соединений  $\text{RCO}_2$  с легкими РЗ из температуры упорядочения  $T_c$ , приведенным в [4]: для Pr  $A = -25.8 \cdot 10^{-23}$  J, для Nd  $A = -23.0 \cdot 10^{-23}$  J. Для тяжелых РЗ параметр обменного  $f-d$ -взаимодействия  $A$  в соединениях  $\text{RCO}_2$  меняется в пределах (от  $-16$  до  $-19) \cdot 10^{-23}$  J [4].

Таким образом, определенные нами значения параметра  $A$  обменного  $f-d$ -взаимодействия для легких РЗ подтверждают вывод о возрастании этого параметра в соединениях типа  $\text{RCO}_2$  в случае легких РЗ по сравнению с тяжелыми РЗ. Для полноты сравнения параметров  $f-d$ -обменного взаимодействия в соединениях  $\text{RCO}_2$  и  $\text{Y}_{1-t}\text{R}_t(\text{Co}_{1-x}\text{Al}_x)_2$  необходимо выяснить, как влияют на  $f-d$ -обмен разбавление кобальтовой подсистемы алюминием и малость концентрации РЗ.

Работа выполнена частично при поддержке Российского фонда фундаментальных исследований (проект № 93-02-2006) и Международного научного фонда (проект NCV300).

#### Список литературы

- [1] Александрян В.В., Лагутин А.С., Левитин Р.З., Маркосян А.С., Снегирев В.В. ЖЭТФ **89**, 1, 271 (1985).
- [2] Goto T., Sakakibara T. Tech. Rep. of ISSP. Ser. A, 2550 (1992).
- [3] Dubenko I.S., Levitin R.Z., Markosyan A.S., Yamada H. J. Magn. Magn. Mater. **136**, 1, 93 (1994).
- [4] Duc N.H., Hien T.D., Givord D., Franse J.J.M., De Boer F.R. J. Magn. Magn. Mater. **124**, 1, 305 (1993).